

# تلهیه‌ی منحنی‌های شکنندگی برای ساختمان‌های فولادی منظم با قاب‌های دارای مهاربندی ضربدری به کمک تحلیل دینامیکی غیرخطی

محمود حسینی (دانشیار)  
پژوهشگاه بین‌المللی زلزله‌شناسی و مهندسی زلزله  
محمود مجید (کارشناس ارشد)  
دانشکده‌ی فنی و مهندسی، دانشگاه آزاد اسلامی، واحد علوم و تحقیقات

با توجه به اهمیت منحنی‌های شکنندگی در ارزیابی خسارات لرزه‌ی ساختمان‌ها، در این نوشترار به منظور تعیین میزان احتمال خسارت واردۀ در شدت‌های مختلف زمین‌لرزه، منحنی‌های شکنندگی برای ساختمان‌های دارای قاب‌های فولادی با مهاربندی ضربدری نوع پلان  $2 \times 4 \times 6$  دهانه و تعداد طبقات ۵، ۶ و ۷ تولید شده‌اند. تولید این منحنی‌ها از طریق انجام بیش از ۴۲ تحلیل دینامیکی غیرخطی برای هر قاب با اعمال شتاب‌نگاشت‌هایی باشد و محتواهای فرکانسی مختلف، به کارگیری توابع آماری و احتمالاتی، و بهره‌گیری از دو شاخص شکست «تغییرشکل محوری خمیری» و «تغییرمکان بین طبقه‌یی» می‌پرسد. نتایج حاصله بیان‌گر این نکته است که اولاً سازه‌های مطالعه شده در شتاب بیشینه‌ی بالاتر از ۰،۵ g، عمدتاً دچار شکست می‌شوند، ثانیاً شاخص «تغییرشکل محوری خمیری»، در مقایسه با «تغییر مکان بین طبقه‌یی»، برای تولید منحنی‌های شکنندگی مناسب‌تر است.

hosseini@iiees.ac.ir  
mahmood.majd@gmail.com

وازگان کلیدی: منحنی شکنندگی، قاب‌های فولادی دارای مهاربندی ضربدری، تحلیل دینامیکی غیرخطی، تغییرشکل محوری، تغییر مکان بین طبقه‌یی.

## ۱. مقدمه

دو عامل مهم در ایجاد منحنی‌های شکنندگی نقش دارند: ۱. خسارت واردۀ بر سازه، که توسط یک تابع احتمال بیان می‌شود؛ ۲. چگونگی جنبش زمین، که می‌توان منحنی شکنندگی را براساس یکی از شاخص‌های جنبش زمین مانند بیشینه شتاب زمین (PGD)، بیشینه سرعت زمین (PGV)، یا بیشینه جابه‌جایی زمین (PGA) رسم کرد.

رسم و تولید منحنی‌های شکنندگی از سازه‌های تأسیسات هسته‌ی آغاز شده است، چرا که این سازه‌ها جزء سازه‌های بسیار مهم‌اند و آسیب‌دیدگی آنها در هنگام زمین‌لرزه بسیار خطرناک است. در سال ۱۹۸۰ منحنی‌های شکنندگی برای نیروگاه‌های هسته‌یی رسم شد.<sup>[۱]</sup> رسم این منحنی‌ها با استفاده از عوامل شکنندگی چون فشار آب، مقاومت بن، جابه‌جایی و تنش ایجاد شده در پوسته‌های مخازن براساس سطوح مختلف PGA صورت گرفت.

می‌توان گفت که بعد از زمین‌لرزه‌ی نورتربیج (۱۹۹۴) توجه بیشتری به تخمین میزان خسارت سازه‌ها شد، و مهندسین توجه بیشتری به پیش‌بینی میزان خسارات مالی سازه‌ها در زلزله‌های شدید نشان دادند.

در سال ۱۹۹۴ طی مطالعه‌یی بر سازه‌های ایالت کالیفرنیا، از ضوابط ATC-۱۳ برای رسم منحنی‌های شکنندگی استفاده شد.<sup>[۲]</sup> در آن تحقیق، منحنی‌های

با توجه به محدودیت داده‌های عددی موجود در رابطه با سطح خرابی، مشخصات و ویژگی‌های زمین‌لرزه، رابطه‌یی بین اندازه‌ی زمین‌لرزه و میزان خرابی از ابرازهای ضروری برای ارزیابی و تخمین خرابی ساختمان‌ها در مقیاس شهری و منطقه‌یی است. منحنی‌های شکنندگی یکی از ابرازهای مفید برای این مظنووند. این منحنی‌ها نشان‌گر احتمال افزایش شرایط محدود آسیب و خسارت برای ساختارهای در معرض تحربیک زمین‌لرزه هستند. حالت‌های خسارت در آسیب‌پذیری‌ها معمولاً به عنوان تغییر مکان بیشینه‌ی بین طبقه‌یی و تغییرشکل محوری خمیری و چرخش مفاصل... در نظر گرفته می‌شود.<sup>[۳]</sup>

منحنی‌های شکنندگی برای برآورد خطرآفرینی زیرساخت‌های شهری نیز قبل استفاده‌اند. این منحنی‌ها سطح محتمل خسارت برای سطوح مختلف شدت تأثیر زلزله را نشان می‌دهند. به کمک این منحنی‌ها می‌توان با تعیین میزان آسیب‌پذیری سازه‌ها آنها را برای مقاوم سازی اولویت‌بندی کرد. همچنین مؤسسات مدیریت دولتی و ادارات بیمه که عهده‌دار برآورد میزان خسارت بعد از زلزله هستند می‌توانند از این منحنی‌ها بهره بگیرند.<sup>[۴]</sup>

مقاآم خمثی به عالم سختی اندک غیر اقتصادی می شود، سیستم مهاربندهای هم مرکز جایگزینی مناسب برای آن خواهد بود.

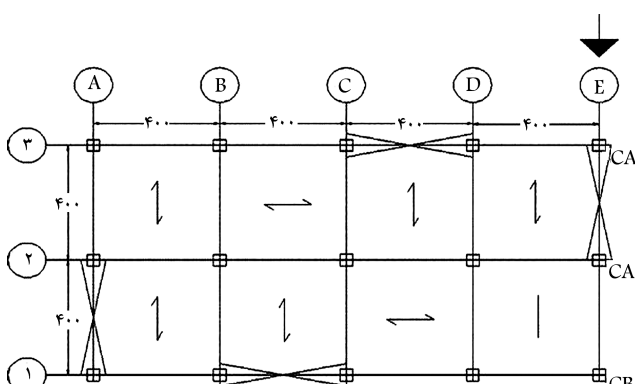
## ۲. تولید منحنی شکنندگی به کمک تحلیل های تاریخچه زمانی

گام های تهیی منحنی شکنندگی به وسیله تحلیل های تاریخچه زمانی در این تحقیق عبارت است از:

۱. انتخاب سازه ها و مدل سازی با توجه به میرایی و رفتار غیر خطی اعضاء؛
۲. انتخاب نگاشتهای زمین لرزه های گذشته با توجه به نوع خاک و شکل طیف، و مقیاس کردن آنها به سطوح مختلف؛
۳. مشخص کردن عوامل مؤثر در شکنندگی لرزه بی مانند تغییر شکل محوری خمیری و تغییر مکان بیشینه بین طبقه بی؛
۴. مشخص کردن محدوده شکست با توجه به آئین نامه ها و دستورالعمل ها؛
۵. انجام تحلیل دینامیکی غیر خطی برای هر سازه در سطوح مختلف PGA؛
۶. انتخاب یک توزیع آماری و معادله ای احتمال مناسب؛
۷. تولید جداول شکنندگی و رسم منحنی شکنندگی.

## ۳. معرفی مدل های مورد بررسی

ساختمان ها به صورت سه بعدی با دو پلان در ابتدا در نظر گرفته شدند. ساختمان ها طوری در نظر گرفته شدند که بتوان قاب های ۴، ۲ و ۶ دهانه را از آنها استخراج کرد. ساختمان ها برای تعداد طبقات ۳، ۵ و ۷ براساس ویرایش دوم استاندارد ۲۸۰۰ ایران و مبحث دهم مقررات ملی ساختمان ایران مدل سازی و طراحی شدند. علت استفاده از ویرایش دوم این است که منحنی های شکنندگی برای سازه های موجود رسم می شوند و اکثر سازه های موجود در ایران براساس این ویرایش طراحی شده اند. همچنین ضوابط مربوط به کترل مهاربندها براساس روابط پیوست استاندارد ۲۸۰۰ مربوطه نیز در طراحی ها ملاحظه شده است. پلان های در نظر گرفته شده و قاب های استخراج شده از آنها در اشکال ۱ و ۲ مشخص است.



شکل ۱. پلان ساختمان های ۳، ۵ و ۷ طبقه برای قاب های ۲ دهانه.

شکنندگی برای سازه های چوبی، فولادی قاب خمثی و بتن مسلح (۴۰ سازه) رسم شد.

در سال ۱۹۹۶ منحنی های شکنندگی برای ساختمان های شهر مفیس تولید شد.<sup>[۶]</sup> رسم این منحنی ها با استفاده از نرم افزار IDARC و برای تغییر مکان بین طبقه بی در سطوح مختلف PGA صورت گرفت.

در سال ۲۰۰۰ نیز محققین با استفاده از تابع های خسارت و براساس PGV، منحنی های شکنندگی را برای سازه های فولادی، بتنی و چوبی شهر کوبه ای زاپن رسم کردند.<sup>[۷]</sup> در این مطالعه آنها متوجه شدند که سازه های بتن مسلح ساخته شده در این شهر دارای کمترین شکنندگی و سازه های فلزی دارای بیشترین شکنندگی هستند.

همچنین در سال ۲۰۰۰ روش تولید منحنی های شکنندگی با استفاده از روش طیف ظرفیت ارائه شد.<sup>[۸]</sup> در این خصوص پژوهشگران با استفاده از روش تحلیل استاتیکی غیر خطی منحنی های شکنندگی را برای تغییر مکان بین طبقه بی رسم کردند.

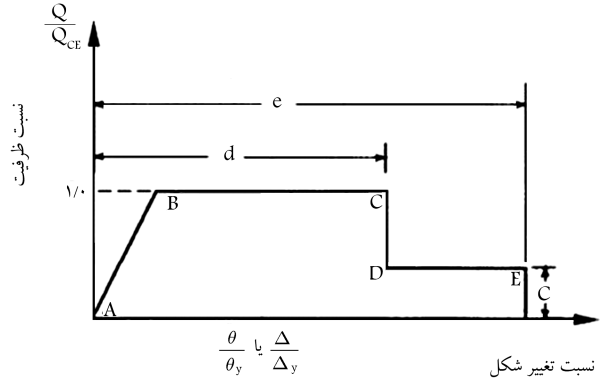
در سال ۲۰۰۴ نیز در استانبول منحنی های شکنندگی برای مقاوم سازی سازه ها تهیی شد.<sup>[۹]</sup> برای این کار محققین چهار مدل ۴ طبقه بی تهیی کردند و به منظور طرح مقاوم سازی از مدل های مختلفی چون بادبندی و دیوار برشی پهروگرفتند. آنان روش دینامیکی غیر خطی را برای تحلیل های لرزه بی به کار گرفتند و منحنی های شکنندگی را برای تغییر مکان بین طبقه بی در سطوح مختلف PGA رسم کردند.

در سال ۲۰۰۶ نیز یکی از دانشجویان پورتوريکو در پایان نامه تحقیلی اش منحنی های شکنندگی را برای ساختمان های فولادی قاب خمثی با استفاده از نرم افزار RAM PERFORM و با استفاده از تحلیل های دینامیکی غیر خطی برای قاب های ۲، ۳، ۴، ۵ و ۱۰ طبقه رسم کرد.<sup>[۱۰]</sup> او با استفاده از آئین نامه FEMA و براساس PGA و تغییر مکان بین طبقه بی، منحنی های شکنندگی را تولید کرد.

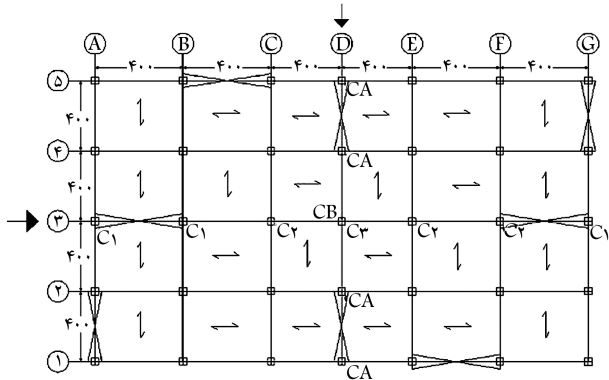
در ایران نیز در سال ۱۳۸۶ منحنی های شکنندگی برای سازه های بتن مسلح دارای دیوار برشی رسم شد.<sup>[۱۱]</sup> برای این کار با لحاظ کردن اثرات توزیع سختی، مقاومت و پیچش بر روی منحنی های شکنندگی، ۸ مدل یک طبقه با استفاده از نرم افزار Opensees تحت تحلیل های دینامیکی غیر خطی قرار گرفت، و منحنی های شکنندگی براساس تغییر مکان بین طبقه بی و چرخش مقاصل و شکل پذیری در سطوح مختلف PGA رسم شدند.

یکی از معروف ترین نوع سیستم های سازه بی متداول، سیستم قاب های فولادی مهاربندی شده است. علی رغم استفاده ایستگرده از این نوع سازه ها در کشور هنوز نسبت به تولید منحنی های شکنندگی آنها اقدام نشده است، و در سایر کشورها نیز براساس مدارک در دسترس کار در این خصوص صورت نگرفته است. هدف اصلی این نوشتار پاسخ به این نیاز کشور است، که البته در سطح جهانی نیز دارای ارزش خاصی است. با توجه به اینکه در کارهای گذشته معیارهای اصلی تهیی منحنی های شکنندگی چرخش مقاصل خمیری و تغییر مکان بین طبقه بی بوده است، منحنی های درمورد این نوع سازه ها قابل استفاده نیست، در این تحقیق علاوه بر معیار دوم معيار تغییر شکل محوری خمیری اعضای مهاربند نیز مورد بررسی قرار گرفته است.

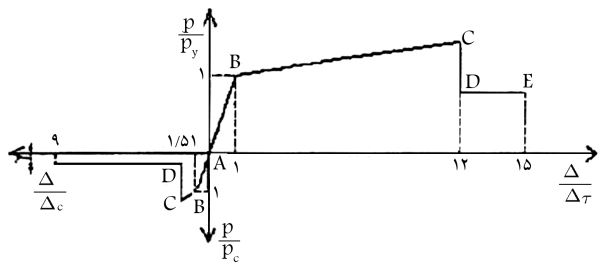
از مهم ترین خواص مهاربندهای هم مرکز سختی بالای آنهاست. به همین علت، معمولاً با افزایش تعداد طبقات و ارتفاع ساختمان — وقتی محدودیت تغییر مکان سازه حاکم بر سرنوشت طراحی اعضاء باشد — و هنگامی که مثلاً استفاده از قاب



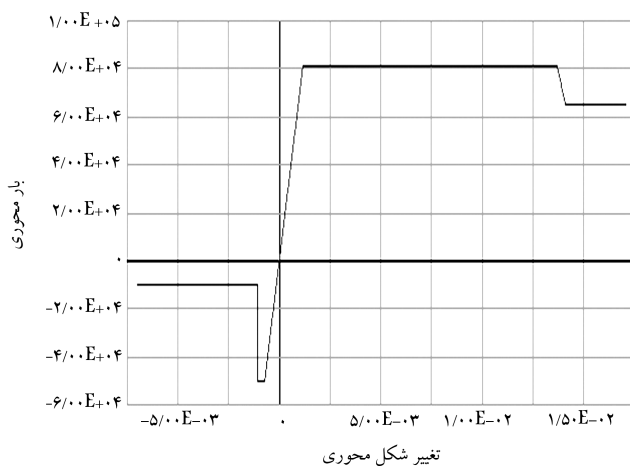
شکل ۳. منحنی رفتار اعضای سازه و پارامترهای مدل‌سازی.<sup>[۱۲]</sup>



شکل ۲. پلان ساختمان‌های ۳، ۵ و ۷ طبقه برای قاب‌های ۴ و ۶ دهانه.



شکل ۴. منحنی رفتاری مهاربندهای هم محور در کشش و فشار.<sup>[۱۲]</sup>



شکل ۵. نمونه‌ی مدل رفتاری مهاربند ۲UNP ۱۲۰ معرفی شده به برنامه‌ی PERFORM-3D<sup>[۱۳]</sup>.

## ۵. تعیین شاخص‌های شکست

برای ایجاد منحنی شکستنگی سازه‌یی تعیین شاخص‌هایی برای شکست ضرورت می‌باشد. خرابی و ویرانی ساختمان درنتیجه‌ی زمین‌لرزه معمولاً ناشی از تغییرشکلهای خمیری زیاد اعضای سازه‌یی است. برای این تغییرشکلهایی شدید خمیری تغییر مکان سازه‌ها زیاد می‌شود. خرابی و ویرانی مختلف اکثراً در اعضای اصلی سازه، به طور مثال در سازه‌های مهاربندی، در مهاربندها رخ می‌دهد و بنابراین از تغییرشکل محوری خمیری می‌توان به عنوان یکی از شاخص‌های شکست نام برد. تغییر مکان بیشینه‌ی بین طبقه‌یی نمونه‌ی دیگری از شاخص‌های شکست است.

به منظور انجام تحلیلهای غیرخطی و بررسی و ارزیابی آسیب‌پذیری سازه‌های انتخابی، از نرم‌افزار D 3D Ram-Perform استفاده شده است. به منظور انجام تحلیلهای غیرخطی، مدل رفتاری مناسب برای اعضاء در محدوده‌ی تغییرشکلهای غیرخطی باید مشخص و در نرم‌افزار معرفی شود. بدینهی است نتیج تحلیلهای مدل‌های رفتاری معرفی شده وابسته است.

رفتار غیرکشسان مهاربندها تابع لاغری آنهاست. با توجه به تفاوت رفتار مهاربندها در کشش و فشار، با بیشتر شدن نسبت لاغری، مقاومت محوری فشار کاهش یافته و منحنی‌های رفتار دوره‌یی لاغرتر می‌شوند.

تلاش‌های اعضاء بر حسب سطح عملکرد تعریف شده توسط معیار پذیرش که نمونه‌یی از آن در شکل ۳ ارائه شده، پذیرفته می‌شوند. پارامترهای a, b, c و e با توجه به خصوصیات هندسی و سازه‌یی مقاطعه برای مدل‌سازی رفتار غیرخطی تیرها و ستون‌ها براساس ضوابط دستورالعمل بهسازی لرزه‌یی ایران به دست می‌آید.

در مدل‌سازی رفتار غیرخطی مهاربندها، پارامترهای مدل‌سازی با توجه به تفاوت رفتار در کشش و فشار به صورت شکل ۴ معرفی می‌شوند. با توجه به شکل، پارامترهای  $P_C = P_y T_C$  و  $\Delta_T = \Delta_T C$  مقاومت‌های مورد انتظار اعضاء تحت کشش و فشار است. تغییرشکل محوری در بار نظیر تنش کششی حد تسلیم  $C$  و تغییرشکل محوری در بارکمانشی مورد نظر است. مقادیر این پارامترها مطابق روابط ۱ تا ۴ به دست می‌آید.

$$P_C = 1/4 F_a A \quad (1)$$

$$\Delta_C = \frac{P_C L}{AE} \quad (2)$$

$$T_C = F_Y A \quad (3)$$

$$\Delta_T = \frac{T_C L}{AE} \quad (4)$$

که در این رابطه‌ها  $A$  سطح مقطع و  $L$  طول مهاربندی است. در شکل ۵ مدل رفتاری مهاربند ۲UNP ۱۲۰ که به برنامه‌ی PERFORM-3D معرفی شده، به طور نمونه ارائه شده است.

رفتار ارجاعی و غیر ارجاعی ستون‌ها، با استفاده از المان تیر ستون نرم‌افزار مورد استفاده مدل‌سازی شده است.

## ۸. نظریه‌ی احتمال در منحنی‌های شکنندگی

برای تولید منحنی شکنندگی باید یک توزیع برای پارامترهای تقاضای مهندسی که از تحلیل‌های دینامیکی غیرخطی به دست می‌آید در نظر گرفت، که معمولاً برای این امر از توزیع نرمال استفاده می‌شود.

برای به دست آوردن مقدار احتمال یک توزیع نرمال از مساحت سطح زیر منحنی توزیع نرمال موسوم به «تابع توزیع تجمعی توزیع نرمال» استفاده می‌کنند. در اشکال ۶ و ۷ نمودارهای تابع توزیع نرمال و تابع توزیع تجمعی توزیع نرمال نشان داده شده است.

تابع چگالی توزیع نرمال توسط رابطه‌ی ۵ و تابع چگالی توزیع تجمعی توزیع نرمال توسط رابطه‌ی ۶ نشان داده می‌شود.

$$F_x(X) = \frac{1}{\sigma\sqrt{2\pi}} e^{-\frac{1}{2}\left(\frac{x-\mu}{\sigma}\right)^2} \quad (5)$$

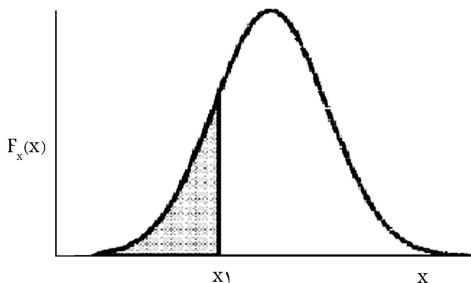
$$F_x(x) = \frac{1}{\sigma\sqrt{2\pi}} \int_{-\infty}^x e^{-\frac{1}{2}\left(\frac{x-\mu}{\sigma}\right)^2} dx = \phi\left(\frac{x-\mu}{\sigma}\right) \quad (6)$$

که در آن  $\mu$  و  $\sigma$  به ترتیب میانگین و انحراف معیار مقادیر است.

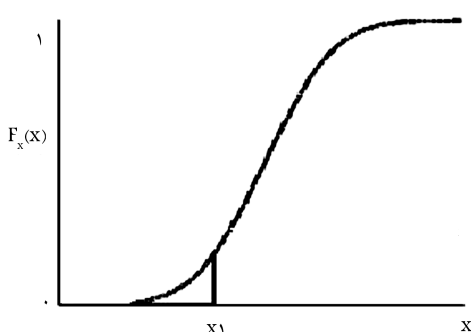
## ۹. تولید منحنی شکنندگی

برای تولید منحنی‌های شکنندگی براساس نتایج تحلیل تاریخچه زمانی از روش‌های احتمالاتی استفاده می‌شود. هر نقطه از منحنی شکنندگی برای شتاب زلزله‌ی بیشینه اختصاص یافته و طبق رابطه‌ی ۷ تعریف می‌شود.

$$Fragility = P[EDP > AC|IM] \quad (7)$$



شکل ۶. منحنی تابع توزیع نرمال.<sup>[۷]</sup>



شکل ۷. منحنی تابع توزیع تجمعی توزیع نرمال.<sup>[۷]</sup>

آسیب‌پذیری در ساختمان‌ها در درجه‌های مختلف عدم خرابی و ویرانی تا فروریختگی دیده می‌شود. در این مطالعه سه حالت: ۱. خرابی و ویرانی غیراساسی کم؛ ۲. خرابی و ویرانی سازه‌یی متوسط؛ ۳. ویرانی سازه‌یی شدید و فروریختگی ساختمان، مورد بررسی قرار می‌گیرد.

## ۶. تعیین محدوده‌ی شکست

محدوده‌ی شکست با عملکرد سازه‌ها رابطه‌ی مستقیم دارد. می‌توان گفت گذر از هر سطح عملکرد سازه به مثابه شکست یک سطح آن سازه است. چون اگر از آن سطح عملکرد گذر کند. دیگر ضوابط آن سطح عملکرد را ندارد و از دیدگاه بهسازی آن عضو نیازمند تقویت است.

سازه‌ها براساس ضوابط دستورالعمل بهسازی ایران، ویرایش سال ۱۳۸۵ (نشریه‌ی شماره ۳۶۰)، در سه سطح ارزیابی شده‌اند: سطح عملکرد قابل استفاده بی‌وقفه (IO) یا همان خرابی و ویرانی کم و غیراساسی؛ سطح عملکرد ایمنی جانی (LS) یا همان خرابی و ویرانی سازه‌یی متوسط؛ سطح عملکرد آستانه‌ی فروریزش (CP) یا همان ویرانی سازه‌یی و فروریختگی.

این سطوح برای تغییرشکل محوری خمیری از جداول موجود در دستورالعمل بهسازی استفاده شده و با توجه به نوع مقطع میزان مجاز تغییرشکل محوری خمیری در سه سطح به دست آمده است. برای معیار تغییر مکان بین طبقه‌یی از مقادیر تفسیر دستورالعمل بهسازی استفاده شده است.<sup>[۱۲]</sup>

## ۷. تحلیل دینامیکی غیرخطی

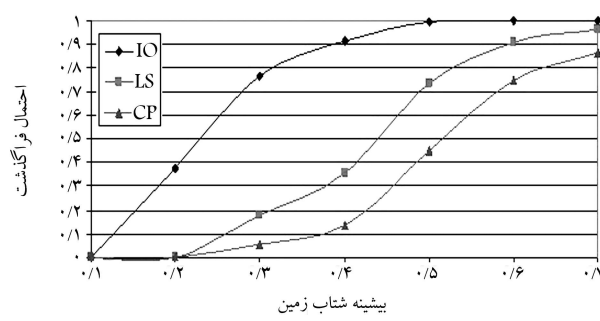
برای تحلیل مدل‌ها از تحلیل غیرخطی تاریخچه‌ی زمانی استفاده شده است. برای انجام تحلیل دینامیکی غیرخطی از شش شتاب‌نگاشت مربوط به خاک نوع II استفاده شده است. این شتاب‌نگاشت‌ها مربوط به زلزله‌های ارائه شده در جدول ۱ هستند.

در این تحقیق منحنی‌های شکنندگی برای ۷ سطح مختلف PG A به دست آمده است. در حالت کلی هر شتاب‌نگاشت به ۷ سطح مختلف زمین لرزه مقایس شده و با توجه به استفاده از ۶ شتاب‌نگاشت در مجموع هر قاب تحت ۴۲ شتاب‌نگاشت زمین لرزه در نرم افزار ۳D Ram-Perform قرار گرفته است.

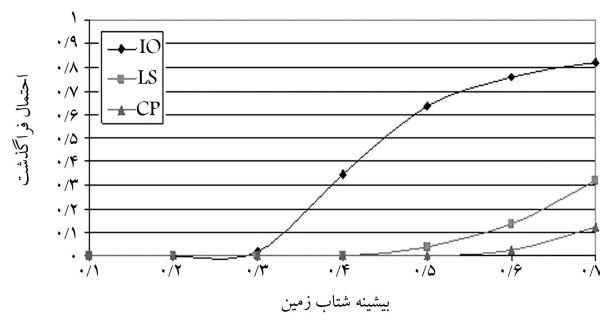
جدول ۱. مشخصات شتاب‌نگاشت‌ها.

| PGA(g) | نوع خاک | رخداد                    | شماره |
|--------|---------|--------------------------|-------|
| ۰,۳۷۵  | B       | Kocaeli ۱۹۹۹/۸/۱۷        | ۱     |
| ۰,۳۵۷  | B       | Loma Prieta ۱۹۸۹/۱۰/۱۸   | ۲     |
| ۰,۳۱۹  | B       | Elcentro ۱۹۵۰/۵/۱۸       | ۳     |
| ۰,۳۶۳  | B       | Northridge ۱۹۹۴/۱/۱۷     | ۴     |
| ۰,۳۶۵  | B       | San Fernando ۱۹۷۱/۲/۹    | ۵     |
| ۰,۴۲۶  | B       | Duzce, Turkey ۱۹۹۹/۱۱/۱۲ | ۶     |

بعد از تنظیم جداول شکنندگی، منحنی‌های شکنندگی رسم می‌شوند. به این ترتیب منحنی‌های شکنندگی برای تمامی قاب‌ها در دو حالت تغییرشکل محوری خمیری و تغییر مکان بین طبقه‌یی رسم شدند. در مجموع ۹ منحنی برای شاخص تغییرشکل محوری خمیری و ۹ منحنی برای شاخص تغییر مکان بین طبقه‌یی رسم شد. چند نمونه از منحنی‌های شکنندگی در شکل‌های ۸ و ۹ به تفکیک قاب و طبقه آمده است. در هر شکل هر سه سطح عملکرد ارائه شده است. در ادامه، تمامی منحنی‌های در اشکال ۱۰ تا ۳۳ برای تمامی قاب‌ها به تفکیک قاب و طبقه و سطح عملکرد آمده است.



شکل ۸. منحنی شکنندگی قاب ۵ طبقه‌ی ۴ دهانه با شاخص تغییر شکل محوری.



شکل ۹. منحنی شکنندگی قاب ۵ طبقه‌ی ۴ دهانه با شاخص تغییر مکان بین طبقه‌یی.

در این رابطه  $IM$  شدت زلزله است که معمولاً برای شتاب بیشینه‌ی زمین (PGA) فرض می‌شود و در این تحقیق در ۷ سطح مختلف PGA - از ۰/۱۶g تا ۰/۷g -- در نظر گرفته شده است؛ EDP پارامتر تقاضای مهندسی است که از خروجی تحلیل‌های دینامیکی غیر خطی به دست می‌آید؛ AC شرایط قابل قبول مربوط به حالت حدی مفروض است که در این تحقیق از سطوح عملکرد دستورالعمل بهسازی ایران استفاده شده است.

تابع احتمال داده شده در رابطه ۷ به صورت رابطه ۸ محاسبه می‌شود:

$$P = P[EDP > AC] = 1 - P[EDP < AC]$$

$$= 1 - \phi\left(\frac{AC - \mu}{\sigma}\right) \quad (8)$$

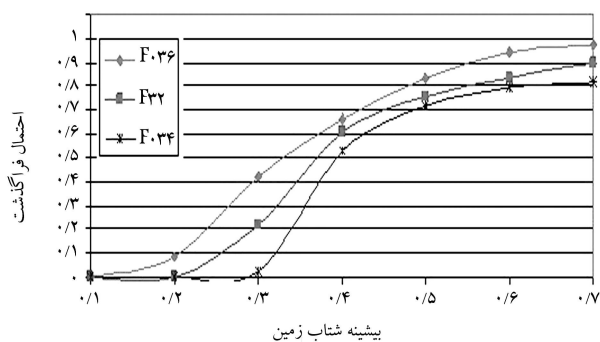
برای هر پارامتر تقاضای مهندسی (EDP) در هر شدت حرکت زلزله (IM) یک توزیع نرمال آماری در نظر گرفته شده است. در این رابطه برای ارزیابی احتمال تجاوز از یک حد مرزی خاص (AC) میانگین و انحراف معیار هر یک از EDP‌ها برای اثر مجموع شش نگاشت زلزله محاسبه شده است. سپس با استفاده ازتابع توزیع تجمعی توزیع نرمال، احتمال تجاوز هر یک از EDP‌ها از حالت حدی داده شده محاسبه شده است.<sup>[۱۱]</sup>

## ۱۰. رسم منحنی شکنندگی

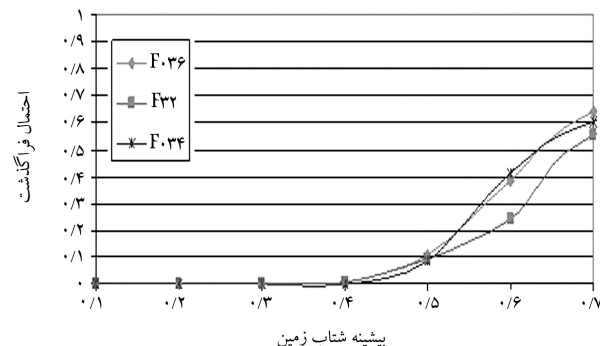
در این مطالعه قبل از رسم منحنی‌های شکنندگی اقدام به تنظیم جداول شکنندگی شده است. ویرگی این جداول این است که برخلاف منحنی‌های شکنندگی که فقط احتمال شکست را در سطح مختلف PGA نشان می‌دهند، رفتار سازه را در تک‌تک نگاشتها و در سطوح مختلف زمین‌لرزه نشان می‌دهند. همچنین در این جداول میانگین، واریانس و انحراف معیار پارامترهای تقاضای مهندسی حاصل از تحلیل‌های دینامیکی غیر خطی و احتمال شکست در سه سطح دیده می‌شود. برای رعایت اختصار در این نوشتار جدول ۲ به عنوان نمونه‌یی از این جداول ارائه شده است. مابقی جداول شکنندگی تهیه شده در گزارش اصلی این تحقیق<sup>[۱۱]</sup> موجود است.

جدول ۲. جدول شکنندگی قاب ۵ طبقه‌ی ۴ دهانه برای شاخص تغییر شکل محوری.

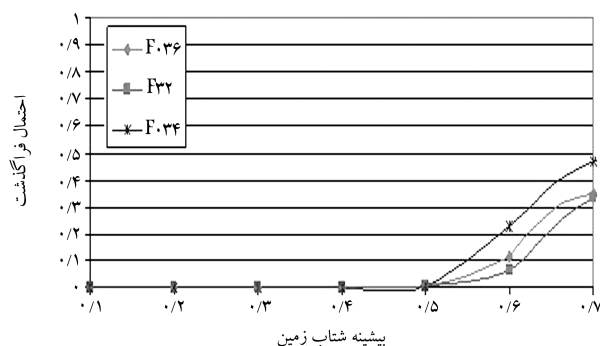
| شدت زلزله - تغییرشکل محور خمیری |          |          |          |          |          |          | FO54               |
|---------------------------------|----------|----------|----------|----------|----------|----------|--------------------|
| ۰/۷ g                           | ۰/۶ g    | ۰/۵ g    | ۰/۴ g    | ۰/۳ g    | ۰/۲ g    | ۰/۱ g    |                    |
| ۰,۰۰۸۱                          | ۰,۰۰۷۴   | ۰,۰۰۶۱   | ۰,۰۰۵۲۰۷ | ۰,۰۰۴۴۸  | ۰,۰۰۱۲۲  | ۰,۰۰۰۴۹  | DUZ                |
| ۰,۰۰۶۰۳                         | ۰,۰۰۵۷۷  | ۰,۰۰۴۰۹  | ۰,۰۰۱۹۰۱ | ۰,۰۰۰۸۷۷ | ۰,۰۰۰۴۳۳ | ۰,۰۰۰۱   | ELS                |
| ۰,۰۰۵۶۸                         | ۰,۰۰۵۰۷  | ۰,۰۰۳۹۱۶ | ۰,۰۰۲۴۳  | ۰,۰۰۰۸۴۳ | ۰,۰۰۰۳۶  | ۰,۰۰۰۱۰۳ | KOC                |
| ۰,۰۰۴۶۱                         | ۰,۰۰۴۳۵  | ۰,۰۰۳۲۵  | ۰,۰۰۲۱۲۵ | ۰,۰۰۱۹۴  | ۰,۰۰۰۴۷۵ | ۰,۰۰۰۰۹  | LOMA               |
| ۰,۰۰۵۰۴                         | ۰,۰۰۴۴۶  | ۰,۰۰۳۵۶  | ۰,۰۰۲۰۶  | ۰,۰۰۰۹۸۲ | ۰,۰۰۰۳۸۹ | ۰,۰۰۰۰۹  | NOR                |
| ۰,۰۰۴۰۱                         | ۰,۰۰۲۹۶  | ۰,۰۰۲۰۹  | ۰,۰۰۱۲۹۲ | ۰,۰۰۰۸۸۵ | ۰,۰۰۰۲۳۹ | ۰,۰۰۰۰۸  | SAN                |
| ۰,۰۰۵۵۷۸                        | ۰,۰۰۵۰۰۲ | ۰,۰۰۳۸۲۴ | ۰,۰۰۲۵۰۳ | ۰,۰۰۱۶۶۸ | ۰,۰۰۰۵۱۹ | ۰,۰۰۰۱۵۹ | Arithmetic mean    |
| ۲,۰۵E-۰۶                        | ۲,۲۵E-۰۶ | ۱,۷۳E-۰۶ | ۱,۹E-۰۶  | ۲,۰۷E-۰۶ | ۱,۲۴E-۰۷ | ۲,۶۴E-۰۸ | Var                |
| ۰,۰۰۱۴۳۳                        | ۰,۰۰۱۴۹۹ | ۰,۰۰۱۳۱۶ | ۰,۰۰۱۳۷۷ | ۰,۰۰۱۴۴  | ۰,۰۰۰۳۵۳ | ۰,۰۰۰۱۶۲ | Standard Deviation |
| ۰,۹۹۹۹۵۱                        | ۰,۹۹۹۵۷۶ | ۰,۹۹۸۲۰۹ | ۰,۹۶۵۳۸۷ | ۰,۸۷۶۵۳۴ | ۰,۹۲۹۶۴۳ | ۰,۸۳۵۹۰۶ | P(X>XI)=IO         |
| ۰,۹۹۹۹۵۱                        | ۰,۹۹۹۵۷۶ | ۰,۹۹۸۲۰۹ | ۰,۹۶۵۳۸۷ | ۰,۸۷۶۵۳۴ | ۰,۹۲۹۶۴۳ | ۰,۸۳۵۹۰۶ | P(X>XI)=LS         |
| ۰,۹۹۹۹۵۱                        | ۰,۹۹۹۵۷۶ | ۰,۹۹۸۲۰۹ | ۰,۹۶۵۳۸۷ | ۰,۸۷۶۵۳۴ | ۰,۹۲۹۶۴۳ | ۰,۸۳۵۹۰۶ | P(X>XI)=CP         |



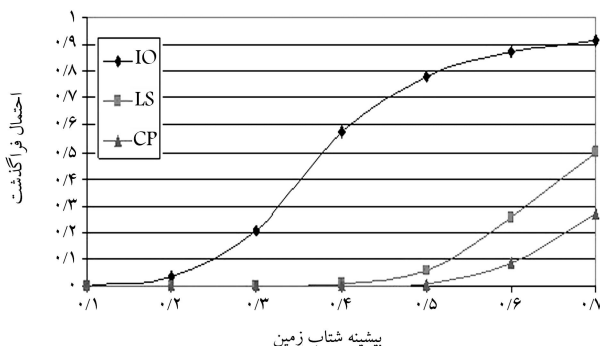
شکل ۱۴. منحنی شکنندگی قاب های ۳ طبقه در سطح عملکرد IO با استفاده از شاخص تغییر مکان بین طبقه‌یی.



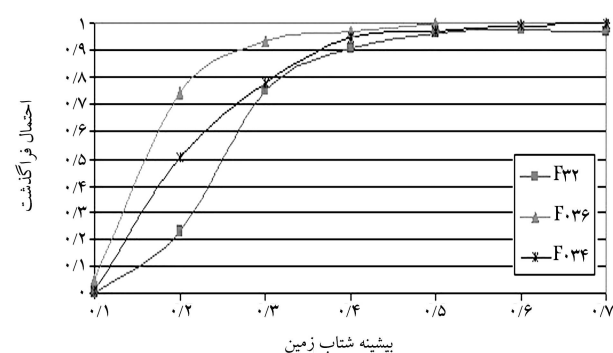
شکل ۱۵. منحنی شکنندگی قاب های ۳ طبقه در سطح عملکرد LS با استفاده از شاخص تغییر مکان بین طبقه‌یی.



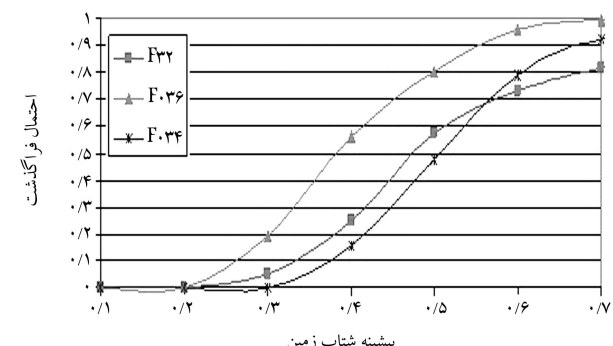
شکل ۱۶. منحنی شکنندگی قاب های ۳ طبقه در سطح عملکرد CP با استفاده از شاخص تغییر مکان بین طبقه‌یی.



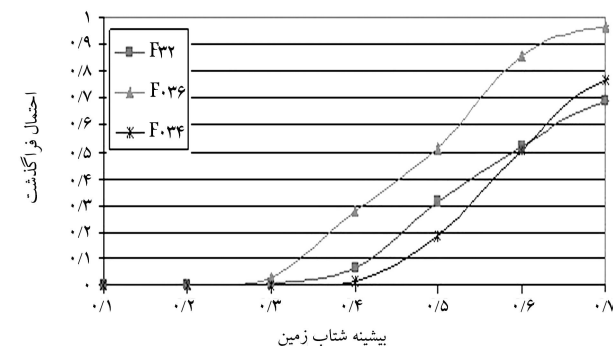
شکل ۱۷. منحنی های شکنندگی میانگین قاب های ۳ طبقه با استفاده از شاخص تغییر مکان بین طبقه‌یی.



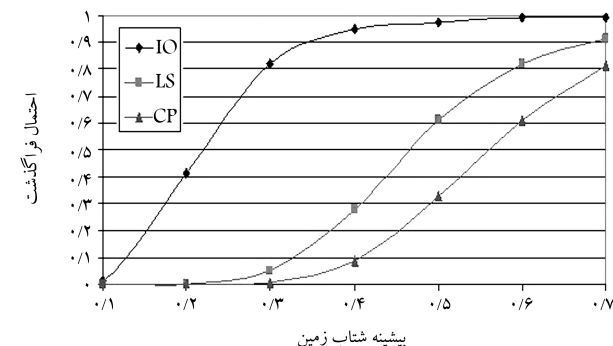
شکل ۱۰. منحنی شکنندگی قاب های ۳ طبقه در سطح عملکرد IO با استفاده از شاخص تغییر شکل محوری.



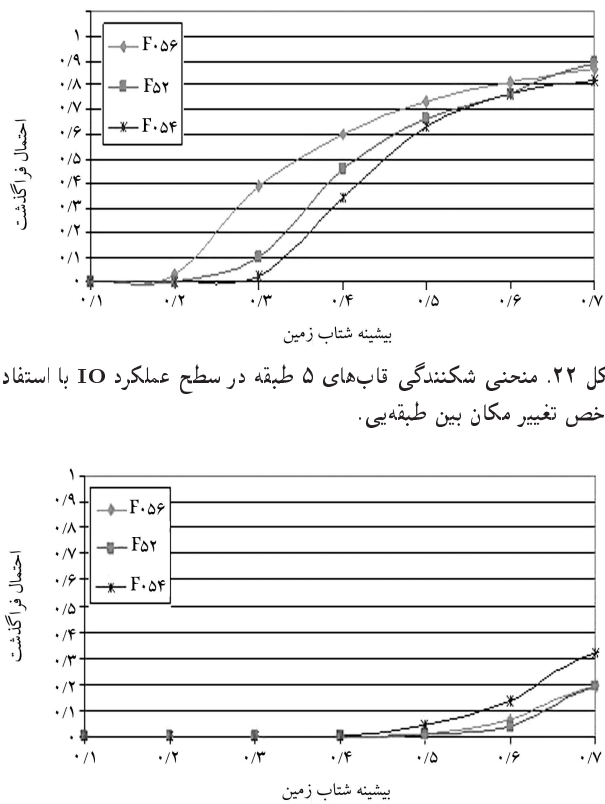
شکل ۱۱. منحنی شکنندگی قاب های ۳ طبقه در سطح عملکرد LS با استفاده از شاخص تغییر شکل محوری.



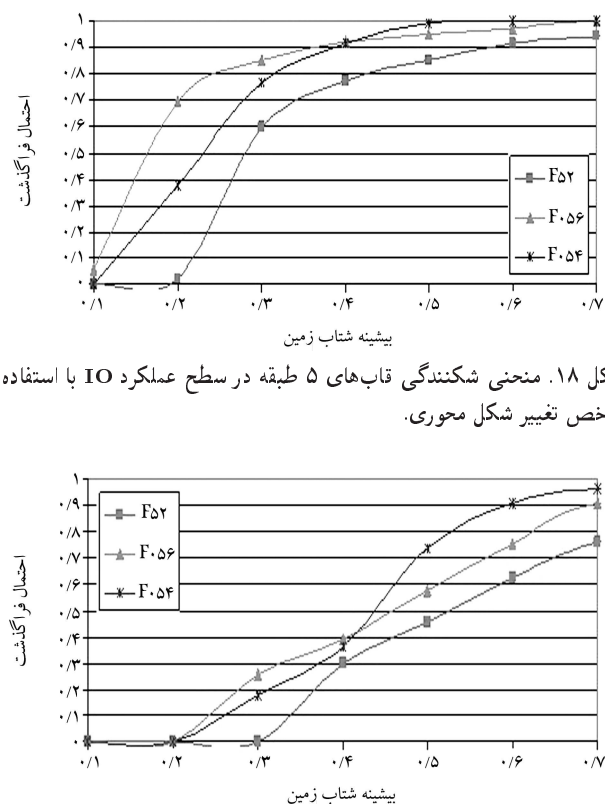
شکل ۱۲. منحنی شکنندگی قاب های ۳ طبقه در سطح عملکرد CP با استفاده از شاخص تغییر شکل محوری.



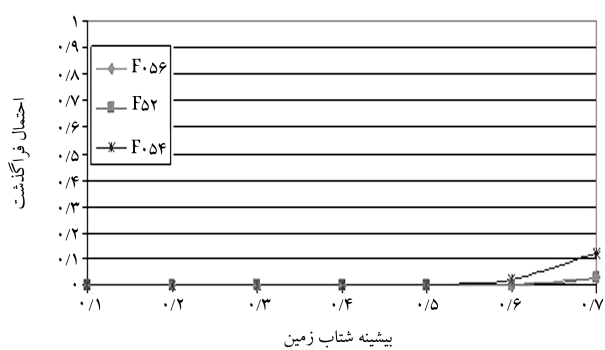
شکل ۱۳. منحنی های شکنندگی میانگین قاب های ۳ طبقه با استفاده از شاخص تغییر شکل محوری.



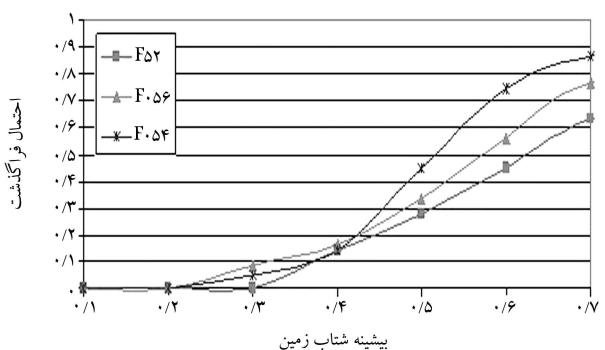
شکل ۲۲. منحنی شکنندگی قاب های ۵ طبقه در سطح عملکرد IO با استفاده از شاخص تغییر مکان بین طبقه‌ی.



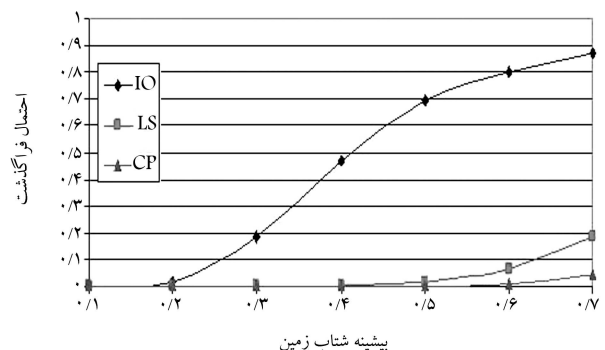
شکل ۱۸. منحنی شکنندگی قاب های ۵ طبقه در سطح عملکرد LS با استفاده از شاخص تغییر شکل محوری.



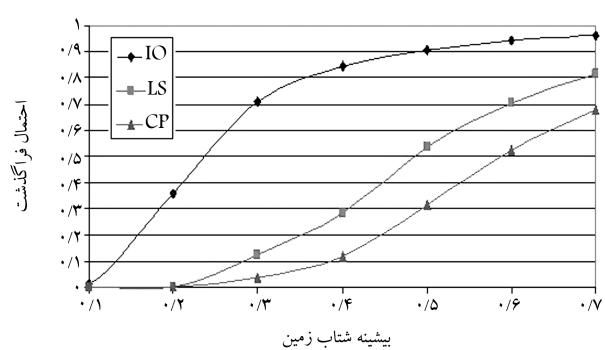
شکل ۲۳. منحنی شکنندگی قاب های ۵ طبقه در سطح عملکرد LS با استفاده از شاخص تغییر مکان بین طبقه‌ی.



شکل ۱۹. منحنی شکنندگی قاب های ۵ طبقه در سطح عملکرد LS با استفاده از شاخص تغییر شکل محوری.

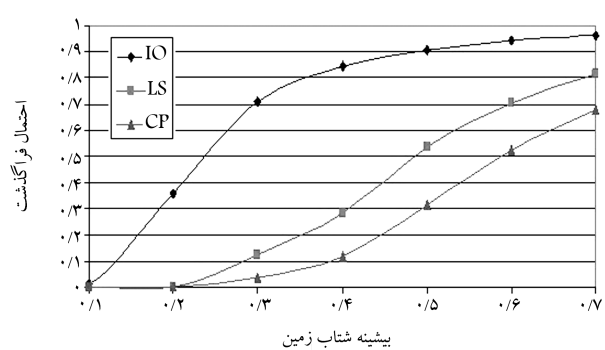


شکل ۲۴. منحنی شکنندگی قاب های ۵ طبقه در سطح عملکرد CP با استفاده از شاخص تغییر مکان بین طبقه‌ی.

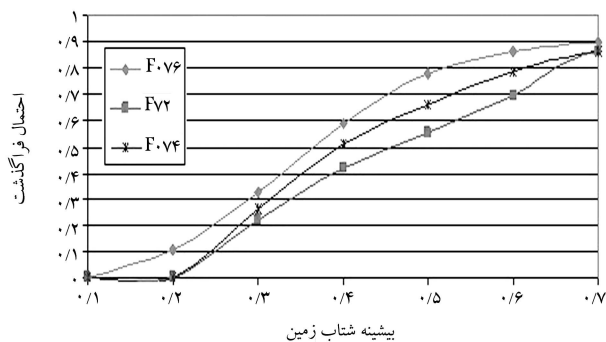


شکل ۲۰. منحنی شکنندگی قاب های ۵ طبقه در سطح عملکرد CP با استفاده از شاخص تغییر شکل محوری.

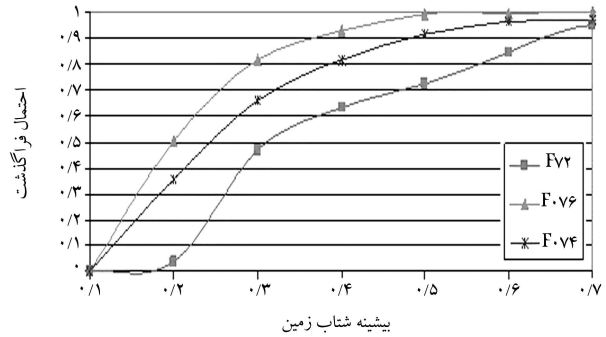
شکل ۲۵. منحنی های شکنندگی میانگین قاب های ۵ طبقه با استفاده از شاخص تغییر مکان بین طبقه‌ی.



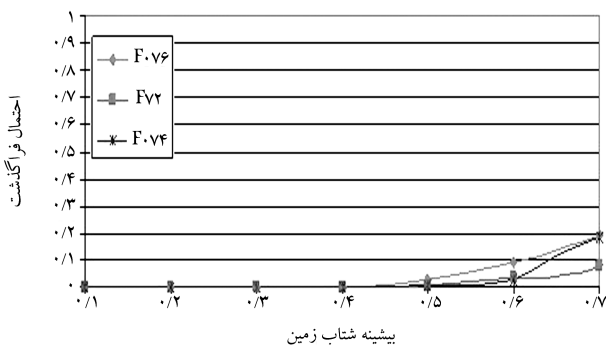
شکل ۲۱. منحنی های شکنندگی میانگین قاب های ۵ طبقه با استفاده از شاخص تغییر شکل محوری.



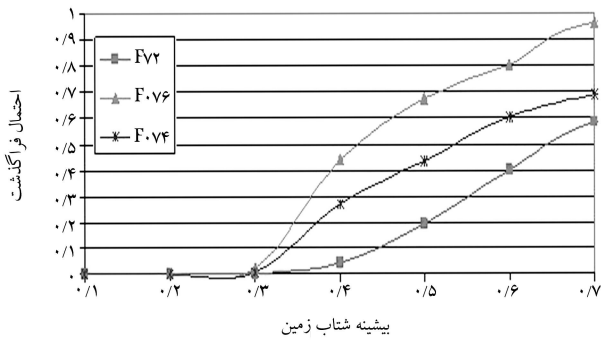
شکل ۳۰. منحنی شکنندگی قاب‌های ۷ طبقه در سطح عملکرد IO با استفاده از شاخص تغییر مکان بین طبقه‌یی.



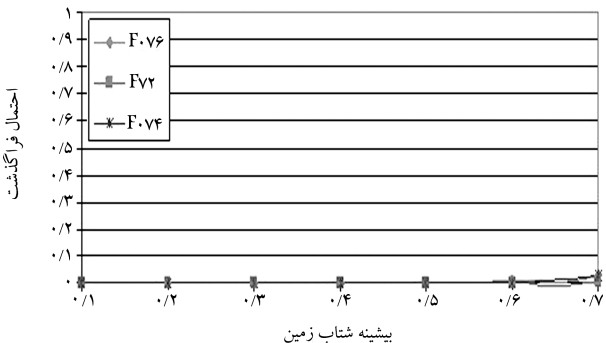
شکل ۲۶. منحنی شکنندگی قاب‌های ۷ طبقه در سطح عملکرد LS با استفاده از شاخص تغییر شکل محوری.



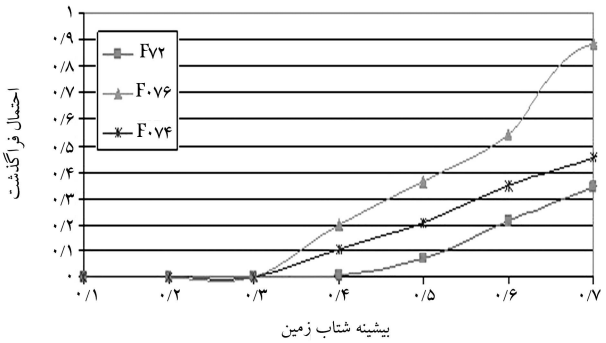
شکل ۳۱. منحنی شکنندگی قاب‌های ۷ طبقه در سطح عملکرد LS با استفاده از شاخص تغییر مکان بین طبقه‌یی.



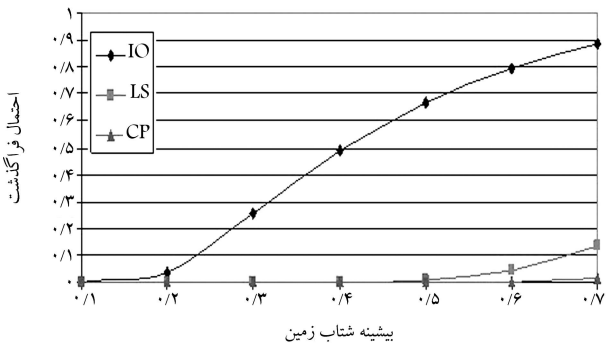
شکل ۲۷. منحنی شکنندگی قاب‌های ۷ طبقه در سطح عملکرد CP با استفاده از شاخص تغییر شکل محوری.



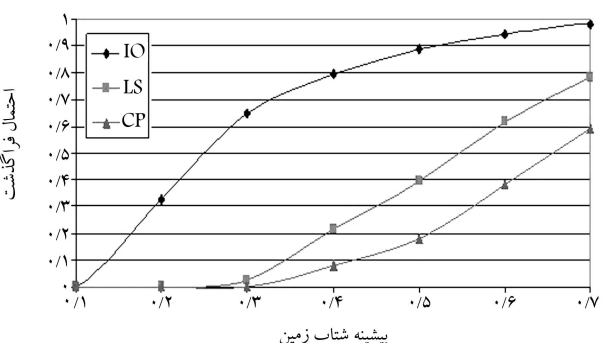
شکل ۳۲. منحنی شکنندگی قاب‌های ۷ طبقه در سطح عملکرد CP با استفاده از شاخص تغییر مکان بین طبقه‌یی.



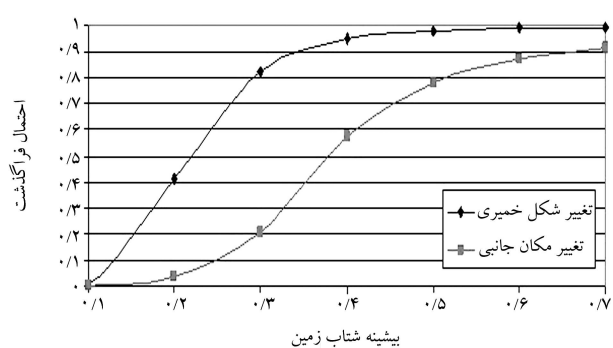
شکل ۲۸. منحنی شکنندگی قاب‌های ۷ طبقه در سطح عملکرد CP با استفاده از شاخص تغییر شکل محوری.



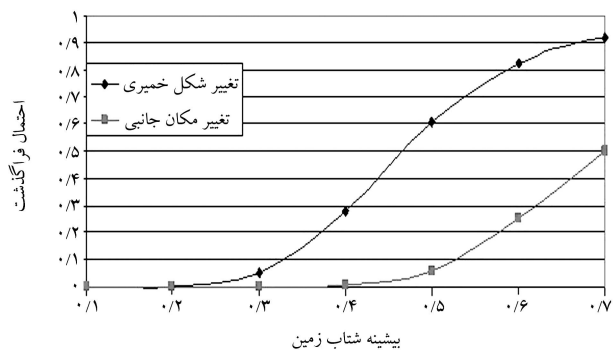
شکل ۳۳. منحنی‌های شکنندگی میانگین قاب‌های ۷ طبقه با استفاده از شاخص تغییر مکان بین طبقه‌یی.



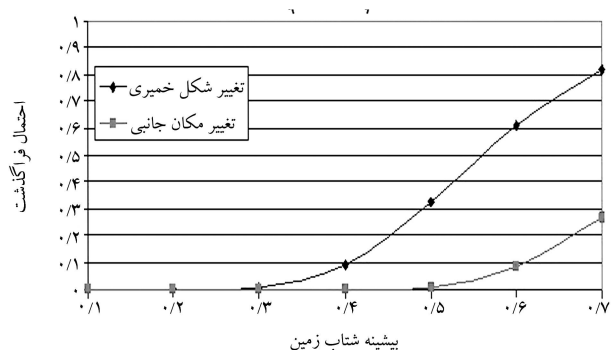
شکل ۲۹. منحنی‌های شکنندگی میانگین قاب‌های ۷ طبقه با استفاده از شاخص تغییر شکل محوری.



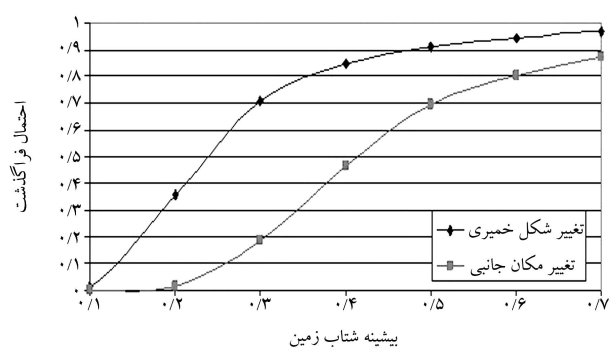
شکل ۳.۴. مقایسه‌ی منحنی‌های شکنندگی تغییر مکان بین طبقه‌ی و تغییر شکل محوری سازه‌های ۳ طبقه در سطح LS.



شکل ۳.۵. مقایسه‌ی منحنی‌های شکنندگی تغییر مکان بین طبقه‌ی و تغییر شکل محوری سازه‌های ۳ طبقه در سطح CP.



شکل ۳.۶. مقایسه‌ی منحنی‌های شکنندگی تغییر مکان بین طبقه‌ی و تغییر شکل محوری سازه‌های ۳ طبقه در سطح CP.



شکل ۳.۷. مقایسه‌ی منحنی‌های شکنندگی تغییر مکان بین طبقه‌ی و تغییر شکل محوری سازه‌های ۵ طبقه در سطح IO.

## ۱۱. دقت منحنی‌های شکنندگی

دقت بررسی‌ها و ارزیابی‌های آسیب‌پذیری که بر مبنای منحنی‌های شکنندگی صورت می‌گیرند، به میزان دقت این منحنی‌ها وابسته است. به طوری که هرقدر در خلال روند تهیه‌ی منحنی آسیب‌پذیری بیشتر دقت شود نتایج تحلیل‌های آسیب‌پذیری از قابلیت اعتماد بیشتری برخوردارند. این در حالی است که اطلاعات مورد نیاز برای تهیه‌ی منحنی‌های شکنندگی ذاتاً خاصیت تصادفی دارند. تصادفی بودن اطلاعات هم در مردم مخصوصات تحریک ورودی و هم در مردم مشخصات مکانیکی سیستم ریاضی بصادق است، چراکه اصولاً زلزله خاصیت غیر تعیینی و تصادفی دارد و از سوی دیگر مشخصات سیستم سازه‌ی نیز به دلایل گوناگون (نظیر تغییر مشخصات مکانیکی مصالح بر اثر خوردگی، تفاوت رفتار به دلیل تغییر دائمی مرکز جرم و...) نامطمئن است. بنابراین افزایش دقت منحنی‌های شکنندگی مستلزم انجام عملیات ریاضی و مطالعات آماری و احتمالاتی مفصل است.

شناخت عوامل ایجاد خطأ مهمن‌ترین گام در امر افزایش دقت منحنی‌های شکنندگی است. عوامل مؤثر در ایجاد خطأ در منحنی‌های شکنندگی عبارت اند از:

۱. کمیود اطلاعات موجود.
۲. وجود اطلاعات نادرست یا کم دقت.
۳. خطأ در عملیات ریاضی و روش‌های تحلیل.
۴. خطأ در برآذش منحنی.

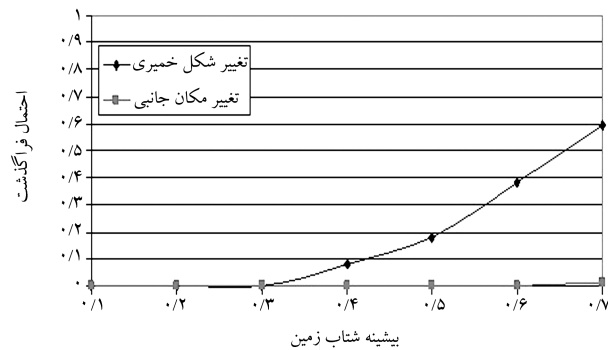
مسئله‌ی اساسی دیگری که در خلال روند تهیه‌ی منحنی‌های شکنندگی باید به آن دقت کرد استفاده از یک روش ریاضی منطقی برای تلفیق داده‌های آماری با یکدیگر است. در مجموع به منظور افزایش دقت محاسبات در تعیین منحنی‌های شکنندگی سازه‌ها، بهتر است برای حالات خاص سازه -- از نظر شرایط هندسی، شرایط تکیه‌گاهی و شرایط ساختگاهی -- یک منحنی شکنندگی خاص برای هر حالت تخریب به دست آید.

## ۱۲. مقایسه‌ی منحنی‌های شکنندگی تغییر مکان بین طبقه‌ی و تغییر شکل محوری خمیری

چنان‌که در قسمت‌های پیشین توضیح داده شد در این تحقیق منحنی‌های شکنندگی برای دو حالت تغییر شکل محوری و تغییر مکان بین طبقه‌ی بین طبقه‌ی شکنندگی بخش به مقایسه‌ی منحنی‌های شکنندگی تولیدشده با دو معیار تغییر شکل محوری و تغییر مکان بین طبقه‌ی می‌پردازیم.

چنان‌که در شکل‌های ۳.۴ تا ۳.۶ مشاهده می‌شود، احتمال شکست منحنی‌های شکنندگی برای حالت تغییر مکان بین طبقه‌ی نسبت به تغییر شکل محوری کم تر است و در کلیه‌ی قاب‌ها منحنی‌های تغییر مکان بین طبقه‌ی پایین‌تر از تغییر شکل محوری قرار دارند.

چنان‌که دیده می‌شود استفاده از شاخص تغییر شکل محوری، نسبت به تغییر مکان بین طبقه‌ی، معیار دقیق‌تری است. معیار تغییر مکان بین طبقه‌ی که در تفسیر دستورالعمل بهسازی آمده با توجه به نمودارها مقداری بزرگ در نظر گرفته شده است. می‌دانیم که سازه‌های مهاربندی سختی زیادی دارند و درنتیجه تغییر مکان بین طبقه‌ی آنها کم است. با توجه به مقادیر جدول (ت-۱-۳) تفسیر دستورالعمل این مقادیر ۵٪ برای قابلیت استفاده‌ی بی‌وقفه، ۱۰٪ برای اینمنی جانی و ۲٪



شکل ۴۲. مقایسه‌ی منحنی‌های شکنندگی تغییر مکان بین طبقه‌یی و تغییر شکل محوری سازه‌های ۷ طبقه در سطح CP.

برای آستانه فروریزش است. این مقادیر با تغییر شکل محوری همخوانی ندارد و درنتیجه بهتر است برای رسم منحنی‌های شکنندگی برای سازه‌های مهاربندی از معیار تغییر شکل محوری استفاده شود.<sup>[۵]</sup> منحنی‌های مقایسه‌یی دو شاخص تغییر مکان بین طبقه‌یی و تغییر شکل محوری برای میانگین منحنی‌ها با توجه به طبقه آمده است.

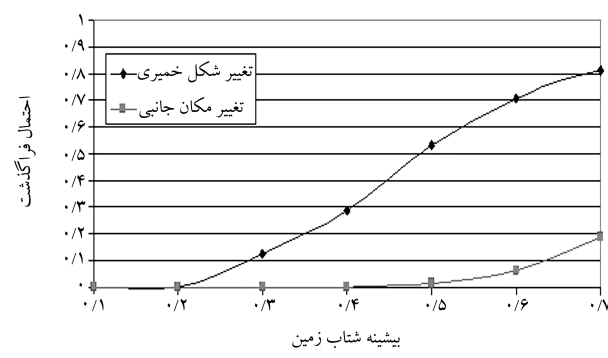
### ۱۳. نتیجه‌گیری

چنان که در این تحقیق توضیح داده شد، منحنی شکنندگی بیان‌گر احتمال خسارت متناظر با حالت خسارت به‌خصوص، برای چندین سطح از جنبش‌های لرزه‌یی زمینی است. منحنی شکنندگی یک سازه همچنین بیان‌گر نسبت بین جنبش لرزه‌یی زمین و سطح خسارت لرزه‌یی محتمل است. در تفسیر منحنی‌های شکنندگی نیز معمولاً با توجه به سطح عملکرد و شدت زمین لرزه میزان خسارت بررسی می‌شود. به‌طور کلی، از منحنی‌های شکنندگی که در این تحقیق برای سازه‌های فولادی مهاربندی با تعداد طبقات ۳، ۵، و ۷ تولید شده است می‌توان چنین نتیجه گرفت: در منحنی‌های شکنندگی قاب‌های ۳ طبقه، به‌طور کلی در سطح عملکرد قابلیت استفاده‌یی بی‌وقفه، شکنندگی بسته به نوع قاب تقریباً از ۰/۱۸g تا ۰/۰۵g می‌شود و تقریباً در ۰/۰۵g تا ۰/۰۵g به شکنندگی ۱۰۰٪ می‌رسد. در سطح عملکرد اینمی جانی، شکنندگی بسته به نوع قاب تقریباً از ۰/۰۸g تا ۰/۰۳۵g شروع می‌شود و تقریباً در ۰/۰۷g به شکنندگی در حدود ۸۰٪/نتا ۱۰۰٪ می‌رسد.

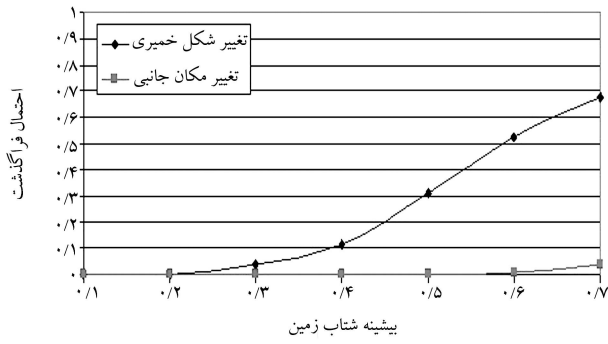
در سطح عملکرد آستانه‌ی فروریزش، شکنندگی بسته به نوع قاب تقریباً از ۰/۰۳g تا ۰/۰۴g شروع می‌شود و تقریباً در ۰/۰۷g به شکنندگی در حدود ۷۰٪/نتا ۹۵٪ می‌رسد.

در منحنی‌های شکنندگی قاب‌های ۵ طبقه، به‌طور کلی در سطح عملکرد قابلیت استفاده‌یی بی‌وقفه، شکنندگی بسته به نوع قاب تقریباً از ۰/۰۱g تا ۰/۰۲g شروع می‌شود و تقریباً در ۰/۰۷g به شکنندگی ۹۵٪/نتا ۱۰۰٪ می‌رسد. در سطح عملکرد اینمی جانی، شکنندگی بسته به نوع قاب تقریباً از ۰/۰۲g تا ۰/۰۳۵g شروع می‌شود و تقریباً در ۰/۰۷g به شکنندگی در حدود ۷۰٪/نتا ۹۵٪ می‌رسد.

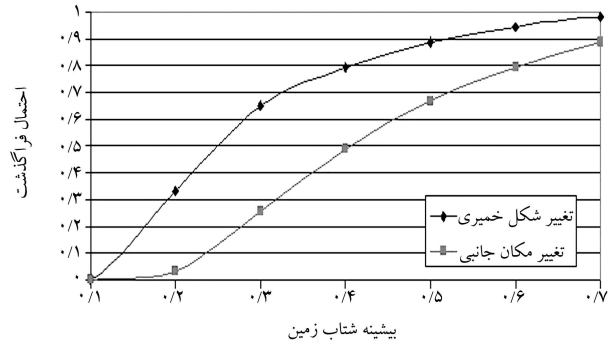
در سطح عملکرد آستانه‌ی فروریزش، شکنندگی بسته به نوع قاب تقریباً از ۰/۰۲g تا ۰/۰۴g شروع می‌شود و تقریباً در ۰/۰۷g به شکنندگی در حدود ۸۵٪ می‌رسد.



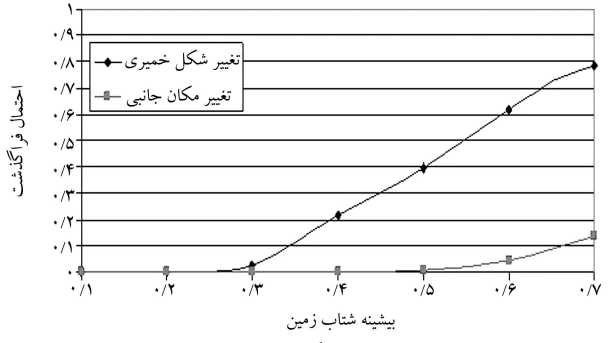
شکل ۴۳. مقایسه‌ی منحنی‌های شکنندگی تغییر مکان بین طبقه‌یی و تغییر شکل محوری سازه‌های ۵ طبقه در سطح LS.



شکل ۴۴. مقایسه‌ی منحنی‌های شکنندگی تغییر مکان بین طبقه‌یی و تغییر شکل محوری سازه‌های ۵ طبقه در سطح CP.



شکل ۴۵. مقایسه‌ی منحنی‌های شکنندگی تغییر مکان بین طبقه‌یی و تغییر شکل محوری سازه‌های ۷ طبقه در سطح IO.



شکل ۴۶. مقایسه‌ی منحنی‌های شکنندگی تغییر مکان بین طبقه‌یی و تغییر شکل محوری سازه‌های ۷ طبقه در سطح LS.

(تقریباً از ۰,۵g به بالا) دچار شکست می‌شوند و از این شدت به بالا احتمال خسارت در آنها بسیار زیاد است. در نتیجه استفاده از این سیستم سازه‌یی در مکان‌هایی که احتمال وقوع زمین لرزه باشد بالا وجود دارد مناسب نیست.

در مورد انتخاب مناسب معيار شکست، چنان که در شکل‌های ۳۴ تا ۴۲ مشاهده می‌شود، احتمال شکست منحنی‌های شکنندگی برای حالت تغییر مکان بین طبقه‌یی در مقایسه با تغییر شکل محوری کمتر است و در تمامی قاب‌ها منحنی‌های تغییر مکان بین طبقه‌یی پایین‌تر از تغییر شکل محوری قرار دارند. در نتیجه استفاده از تغییر شکل محوری در مقایسه با تغییر مکان بین طبقه‌یی معيار دقیق‌تری است و در جهت اطمینان است. معيار تغییر مکان بین طبقه‌یی که در تقسیم‌بندی دستورالعمل بهسازی آمده با توجه به نمودارها مقداری بزرگ در نظر گرفته شده است. چنان‌که می‌دانیم سازه‌های مهاربندی سختی زیادی دارند و در نتیجه تغییر مکان بین طبقه‌یی این سازه‌ها به عمل سختی بالا کم است.

در منحنی‌های شکنندگی برای قاب‌های ۷ طبقه، به طور کلی در سطح عملکرد قابلیت استفاده بی‌وقفه، شکنندگی بسته به نوع قاب تقریباً از ۱۰٪ تا ۱۲٪ شروع می‌شود و تقریباً در ۷g به شکنندگی ۹۵٪ تا ۱۰۰٪ می‌رسد.

در سطح عملکرد اینمی‌جایی، شکنندگی بسته به نوع قاب تقریباً از ۲۵٪ تا ۴٪ شروع می‌شود و تقریباً در ۷g به شکنندگی در حدود ۹۵٪ می‌رسد.

در سطح عملکرد آستانه فو ریزن، شکنندگی بسته به نوع قاب تقریباً از ۳٪ تا ۴٪ شروع می‌شود و تقریباً در ۷g به شکنندگی در حدود ۸۵٪ می‌رسد.

مقادیر کمی که گفته شد برای منحنی‌های شکنندگی تغییر شکل محوری است، زیرا معيار شکست مناسب برای منحنی‌های شکنندگی سازه‌های مهاربندی معيار تغییر شکل محوری است.

با توجه به منحنی‌های شکنندگی به دست آمده برای قاب‌های فولادی مهاربندی شده می‌توان گفت که این سازه‌ها در مقادیر بالاتر از شتاب بیشینه‌ی زمین

## منابع

1. Anagnos, T.; Rojahn, C. and Kiremidjian, A.S., *NCEER-ATC Joint Study on Fragility of Buildings*, National Center for Earthquake Engineering Research (NCEER) (1995).
2. Murao, O. and Yamazaki, F., *Development of Fragility Curves for Buildings in Japan*, Confronting Urban Earthquakes: Report of Fundamental Research on the Mitigation of Urban Disasters Caused by Near-Field Earthquakes, pp. 226-230 (2000).
3. Akkar, S.; Sucuoglu, H. and Yakut, A., "Displacement-based fragility functions for low- and mid-rise ordinary concrete buildings", *Earthquake Spectra*, **21**(4), pp. 901-927 (2005).
4. Anagnos, T.; Rojahn, C. and Kiremidjian, A.S. "Building fragility relationships for California", *Proceedings of the Fifth U.S. National Conference on Earthquake Engineering*, pp. 389-396 (1994).
5. Kennedy, R.P.; Cornell, A.C.; Campbell, R.D.; Kaplan, S. and Perla, H.F. "Probabilistic seismic safety study of an existing nuclear power plant", *Nuclear Eng. & Design*, **59**(2) (1980).
6. Huo, J.R. and Hwang, H. "Fragility of memphis buildings", *Eleventh World Conference on Earthquake Engineering*, (1996).
7. Murao, O. and Yamazaki, F. "Development of fragility curves for buildings in Japan", Confronting Urban Earthquakes: Report of Fundamental Research on the Mitigation of Urban Disasters Caused by Near-Field Earthquakes, pp. 226-230 (2000).
8. Reihorn, M; Barron C. and Ayala, A. *Spectral Evaluation of Seismic Fragility of Structures*, Structural safety and Reliability - Balkema publishers (2001).
9. Smyth, A. "Probabilistic benefit-cost analysis for earthquake damage mitigation: Evaluating measures for apartment houses in Turkey", *Earthquake Spectra*, **20**(1), (February 2004).
10. Arizaga, G. "Earthquake induced damage estimation for steel buildings in Puerto Rico", A thesis submitted in partial fulfillment of the requirements for the degree of master of science in civil engineering university of Puerto Rico, (2006).
11. Aziminejad, A.S. and Moghadam, A. "Effects of strength distribution on fragility curves of asymmetric single story building", *Proceedings of the Ninth Canadian Conference on Earthquake Engineering Ottawa, Ontario, Canada* (June 2007).
12. MPO, Guidelines for Seismic Rehabilitation of Existing Buildings, and its Commentary, Monograph No. 360, Management and Planning Organization (MPO) of Iran, (2006).
13. Graham, H., Powell, *Ram Perform 3D User Guide*, Version 1.25 (Nonlinear Dynamic Analysis), (1998-2000).
14. Majd, M. "Developing fragility curves for regular steel buildings with CBFs by nonlinear time history analyses", Master Thesis under supervision of Dr. Mahmood Hosseini, submitted to Earthquake Engineering Graduate Program, School of Engineering, Science and Research Branch of the Islamic Azad University, Tehran, Iran (May 2008).

